

4508 / 2 - 78

СООБЩЕНИЯ  
ОБЪЕДИНЕННОГО  
ИНСТИТУТА  
ЯДЕРНЫХ  
ИССЛЕДОВАНИЙ  
ДУБНА



С 346, 2Г  
A-139

P1 - 11615

А.Абдивалиев, К.Бешлиу, А.П.Гаспарян, С.Грица,  
А.П. Иерусалимов, Д.К.Копылова, Ф.Которобай,  
В.И.Мороз, А.В.Никитин, Ю.А.Троян

МЕХАНИЗМ РЕАКЦИИ  $p p \rightarrow p p \pi^+ \pi^- \pi^- \pi^0$   
ПРИ  $P_n = (5,10 \pm 0,17)$  ГЭВ/С

**1978**

P1 - 11615

А.Абдивалиев, К.Бешлиу, А.П.Гаспарян, С.Грица,  
А.П.Иерусалимов, Д.К.Копылова, Ф.Которобай,  
В.И.Мороз, А.В.Никитин, Ю.А.Троян

МЕХАНИЗМ РЕАКЦИИ  $n p \rightarrow p p \pi^+ \pi^- \pi^- \pi^0$   
ПРИ  $P_n = (5,10 \pm 0,17)$  ГЭВ/С



Абдивалиев А. и др.

P1 - 11615

Механизм реакции  $p\bar{p} \rightarrow p\bar{p}\pi^+\pi^-\pi^-\pi^0$  при  $P_n = (5,10 \pm 0,17) \text{ ГэВ/с}$

Исследован механизм реакции  $p\bar{p} \rightarrow p\bar{p}\pi^+\pi^-\pi^-\pi^0$  при  $P_n = (5,10 \pm 0,17) \text{ ГэВ/с}$ . Показано, что реакция  $p\bar{p} \rightarrow p\bar{p}\pi^+\pi^-\pi^-\pi^0$  в основном описывается с помощью матричного элемента вида

$$M^2 \sim e^{-B(y_{\max} - y_1)} \cdot e^{-B(y_2 - y_{\min})} (\beta_1 + \beta_2 R),$$

где  $B = 1,41$ ,  $\beta_2$  - доля образования изобары  $\Delta^{++}$  в реакции,  $R$  - резонансный член. Изобара  $\Delta^{++}$  рождается в значительной степени через периферической механизм.

Рождение  $\omega^0$ -мезона, вероятно, происходит путем  $\pi^-$ -мезонного обмена в реакции  $p\bar{p} \rightarrow p\bar{p}\omega^0\pi^-$ .

Работа выполнена в Лаборатории высоких энергий ОИЯИ.

Сообщение Объединенного института ядерных исследований. Дубна 1978

Abdvaliev A. et al.

P1 - 11615

The  $p\bar{p} \rightarrow p\bar{p}\pi^+\pi^-\pi^-\pi^0$  Reaction Mechanism at  $P_n = (5,10 \pm 0,17) \text{ GeV/c}$

The mechanism of the  $p\bar{p} \rightarrow p\bar{p}\pi^+\pi^-\pi^-\pi^0$  reaction at  $P_n = (5,10 \pm 0,17) \text{ GeV/c}$  was investigated. It was shown that the  $p\bar{p} \rightarrow p\bar{p}\pi^+\pi^-\pi^-\pi^0$  reaction is mainly described with the next type of a matrix element

$$M^2 \sim e^{-B(y_{\max} - y_1)} \cdot e^{-B(y_2 - y_{\min})} (\beta_1 + \beta_2 R),$$

where  $B = 1,41$ ,  $\beta_2$  - is the portion of  $\Delta^{++}$  isobars production in the reaction,  $R$  is a resonance term. The  $\Delta^{++}$  isobars are produced in a significant number of events through a peripheral mechanism. The production of  $\omega^0$  meson in the  $p\bar{p} \rightarrow p\bar{p}\pi^+\pi^-\pi^-\pi^0$  reaction probably goes through the  $\pi^-$ -meson exchange.

The investigation has been performed at the Laboratory of High Energies, JINR.

Communication of the Joint Institute for Nuclear Research. Dubna 1978

© 1978 Объединенный институт ядерных исследований Дубна

Определение сечения реакции  $p\bar{p} \rightarrow p\bar{p}\pi^+\pi^-\pi^-\pi^0$  (1) и сечений образования резонансов в ней при  $P_n = 5,1 \text{ ГэВ/с}$  произведено в наших работах<sup>[1,2]</sup>. Основные результаты заключаются в том, что примерно в 50% случаев реакция идет через образование изобары  $\Delta^{++}$ , в 6% случаев в реакции образуется  $\omega^0$ -мезон; вероятность образования изобары  $\Delta^{++}$  одинакова для систем  $p_1\pi^+$  и  $p_2\pi^+$ , где  $y_{p1}^* > y_{p2}^*$  /быстроты протонов в с.ц.м. реакции/.

В настоящей работе мы приведем другие характеристики реакции /1/ и попытаемся сравнить их с возможными механизмами протекания этой реакции.

На рис. 1 представлены угловые распределения вторичных частиц из реакции /1/. Характерные черты распределений: протоны симметричны по углам в с.ц.м. и резко анизотропны, угловое распределение  $\pi^+$ -мезонов изотропно, в угловом распределении  $\pi^-$ -мезонов имеется небольшой подъем при  $\cos\theta_{\pi^-}^* \geq 0,6$ ; угловое распределение  $\pi^0$ -мезонов симметрично и анизотропно. На рисунке, как и в дальнейшем, точками отмечено распределение, получаемое с использованием сконструированного нами матричного элемента периферического типа МЭП /см. /<sup>[3]</sup>/, там же для сравнения нанесены кривые, получаемые из фазового объема /программа "Форс"/. На рис. 2-5 изображены импульсы, поперечные импульсы и распределения по  $x^* = P_{||}^*/P_{\max}^*$  и  $y^*$  для частиц разного сорта из реакции /1/.  $P_{\max}^*$  определяется с учетом всех родившихся частиц в реакции /1/. На рис. 6 показаны угловые корреляции между частицами разного сорта. На рис. 7 приведено распределение эффективных масс двух протонов.

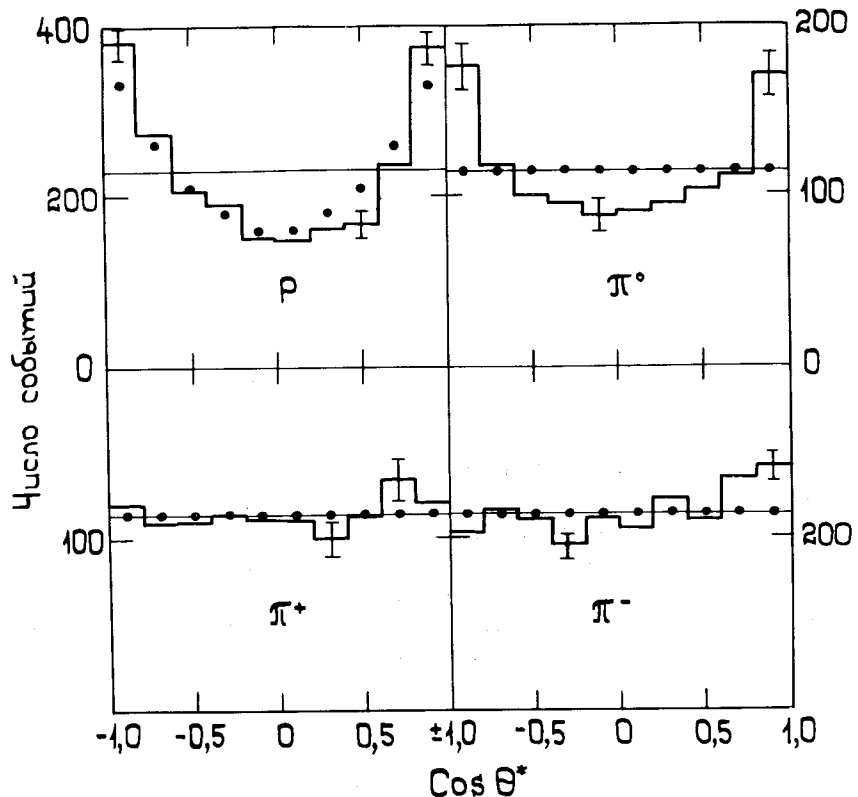


Рис. 1. Распределения по  $\cos \theta^*$  в с.ц.м. реакции для вторичных частиц.

На рис. 8 представлены различные характеристики образовавшихся в реакции /1/ изобар  $\Delta^{++}$ . В качестве кандидатов в изобары отбирались комбинации протона и  $\pi^+$ -мезона, эффективная масса которых заключена в пределах  $1160 \leq M_{\text{пр}} \leq 1300 \text{ МэВ/с}^2$ .

Из приведенных распределений можно сделать вывод о том, что описание характеристик реакции с использованием МЭП является вполне удовлетворительным.

В работе<sup>/3/</sup> был приведен вид использованного там матричного элемента:

$$M^2 \sim e^{-B(y_{\max} - y_1)} \cdot e^{-B(y_2 - y_{\min})} \quad /2/$$

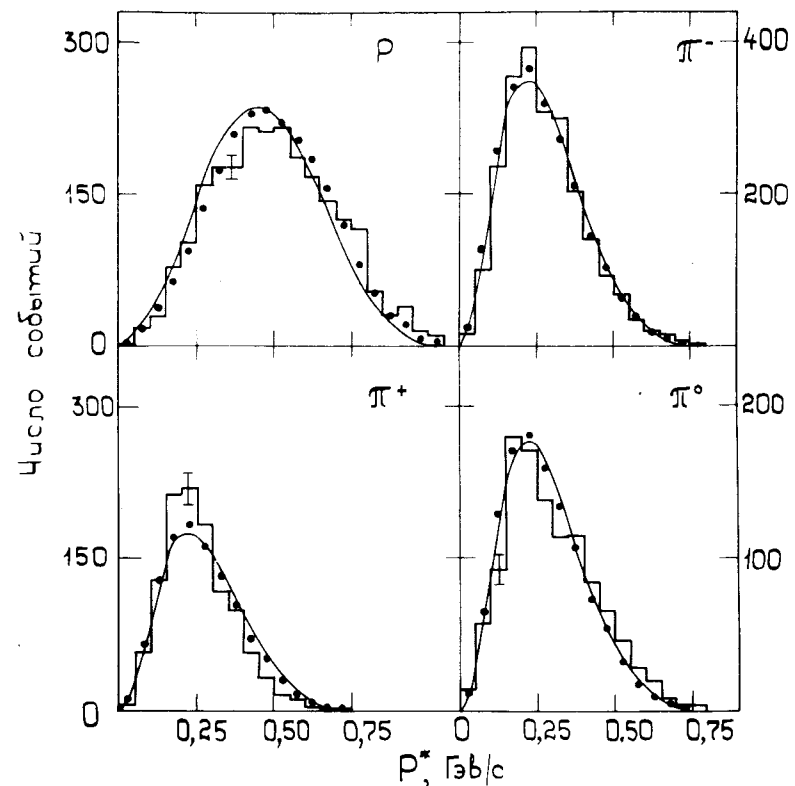


Рис. 2. Импульсные распределения частиц в с.ц.м. реакции.

для описания реакции  $p + p \rightarrow \pi^+ \pi^- \pi^0$  /3/. Такой же вид матричного элемента использован нами и для описания реакции /1/. Используя средние характеристики этой реакции  $\Delta y = y_{\max} - y_1 = 0,72$ ;  $p_{\perp 1}^2 = 0,15$  /средний квадрат поперечного импульса вторичного протона/,  $\sqrt{D_{y_1}} = 0,063$  /корень из дисперсии распределения по  $y_1^*$  - быстрого протона в с.ц.м./, можно получить, подобно тому, как это сделано в работе<sup>/3/</sup>, значение коэффициента  $B = 1,41$ . Это значение и использовано в выражении /2/ для матричного элемента при вычислении различных распределений /точки в приведенных выше распределениях/. Видно, что матричный элемент с этим значением

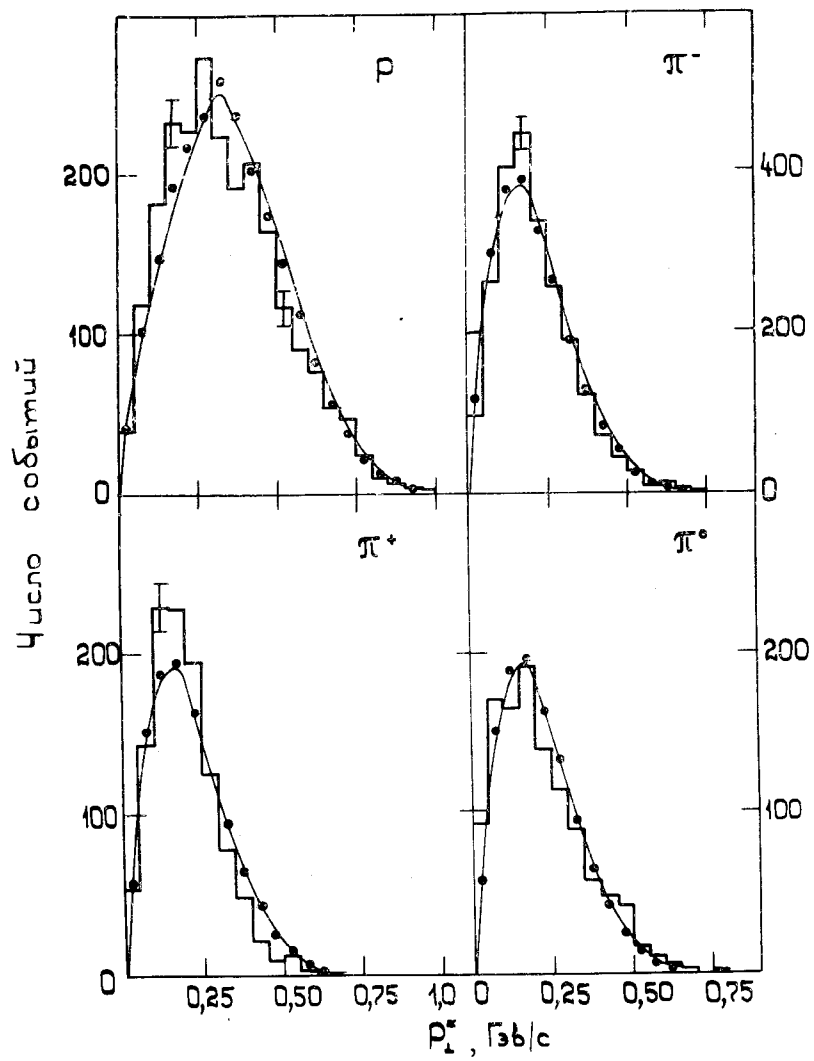


Рис.3. Распределения по  $P_T$  для вторичных частиц.

коэффициента  $B$  хорошо аппроксимирует экспериментальные данные. Распределение эффективных масс  $N_{\pi}$ -комбинаций с использованием МЭП получается таким же, как в фазовом объеме. На эксперименте наблюдается

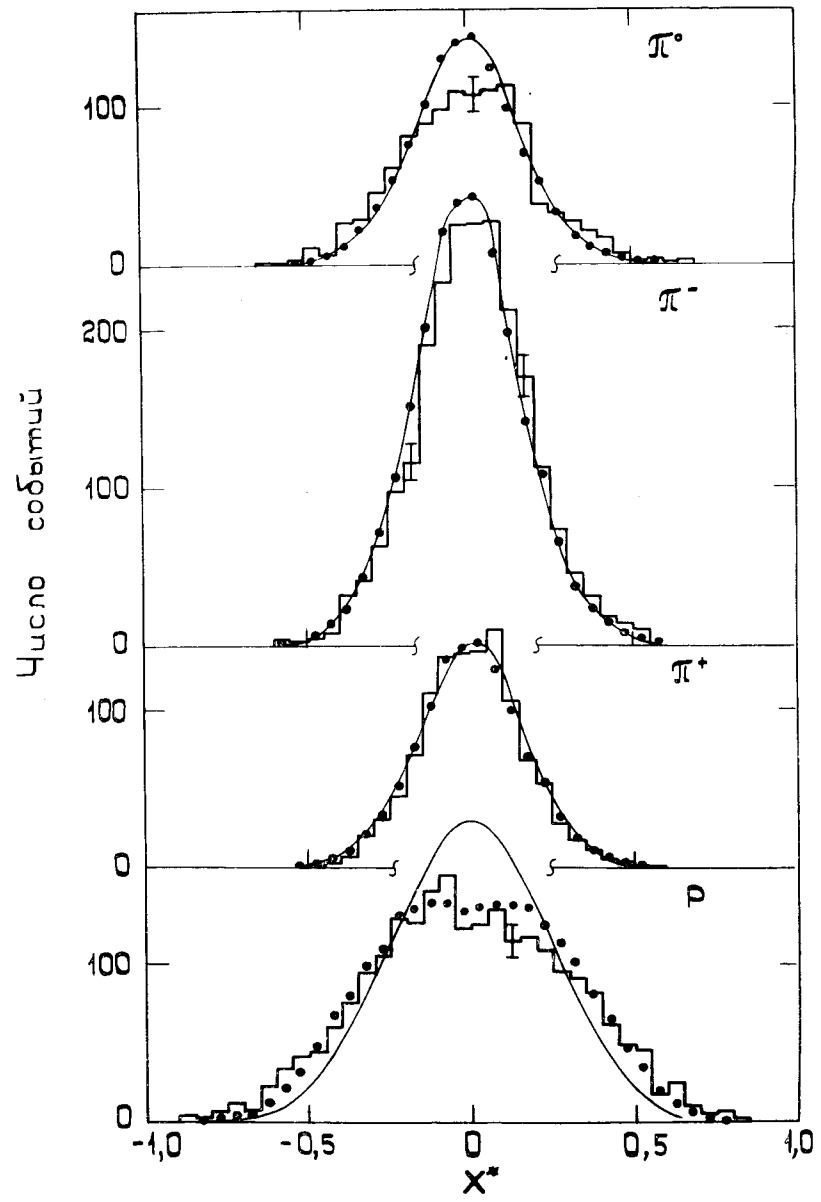


Рис.4. Распределения по  $x^* = p_{||}^* / p_{\max}^*$ .

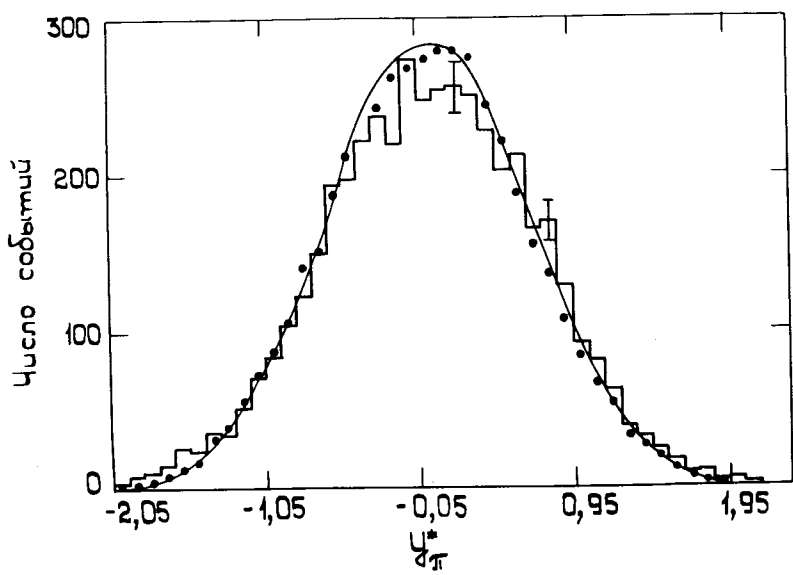
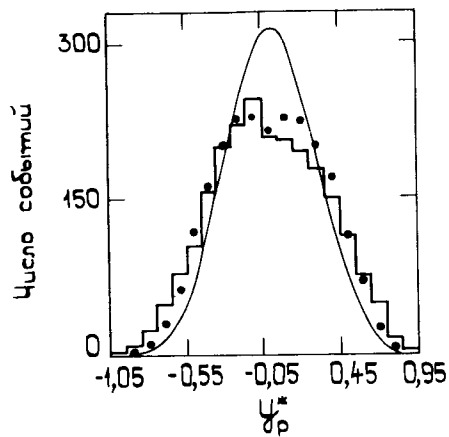


Рис.5. Распределения по быстроте.

рождение изобар. Поэтому полный матричный элемент должен содержать резонансный член.

Наиболее яркий эффект в реакции /1/ - резкая анизотропия и симметрия в угловом распределении  $\pi^0$ -мезонов в с.ц.м.

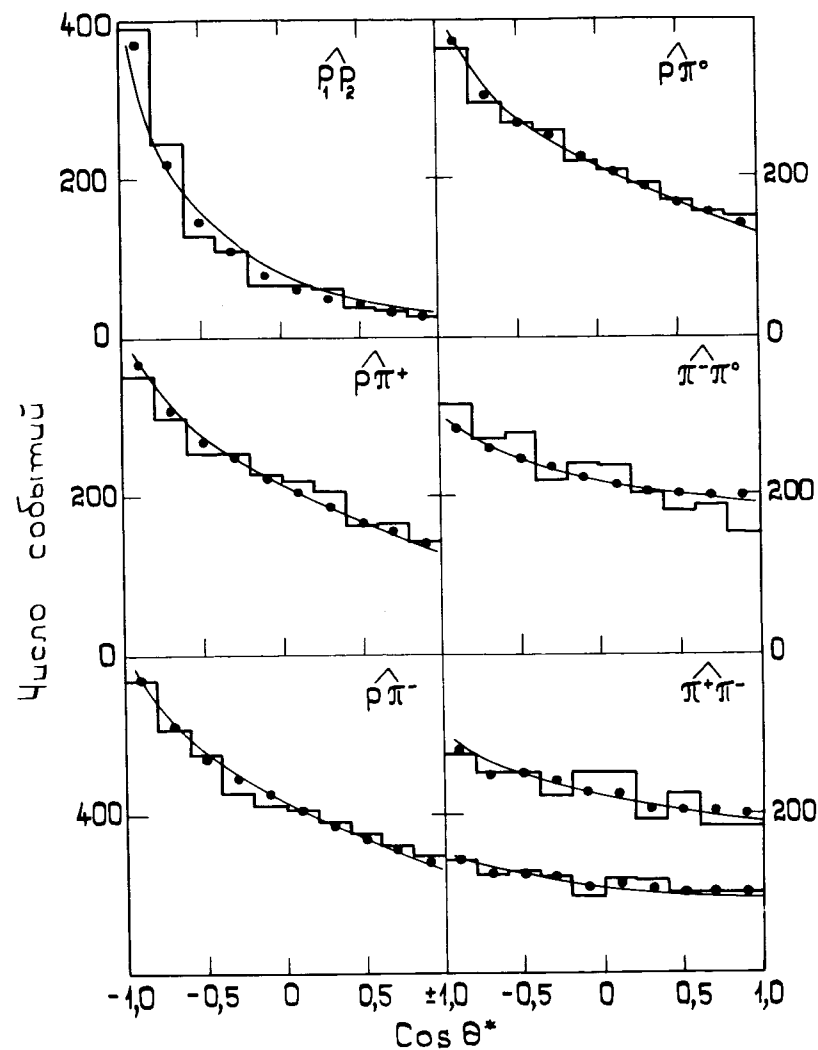


Рис.6. Угловые корреляции между частицами разного сорта.

Рассматривая реакцию /1/ с точки зрения ОРЕ-диаграмм, можно прийти к выводу, что, если в угловом распределении  $\pi^0$ -мезонов будет наблюдаться резкая

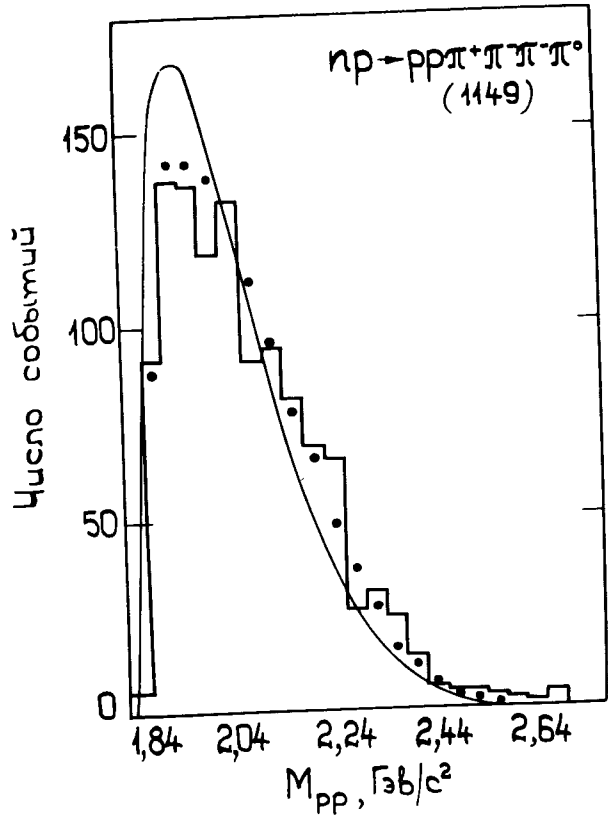
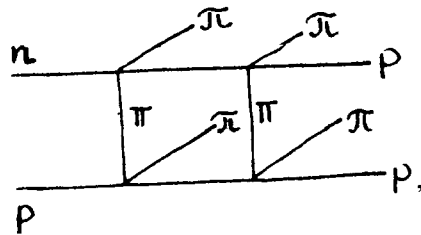


Рис.7. Эффективная масса двух протонов.

анизотропия, то эффект такого же порядка должен наблюдаться и в угловых распределениях заряженных мезонов.

Поэтому необходимо рассмотреть эффекты перерассения, на важность которых указывалось в работе<sup>[4]</sup>. Перерассеяния, связанные с диаграммами типа



/4/

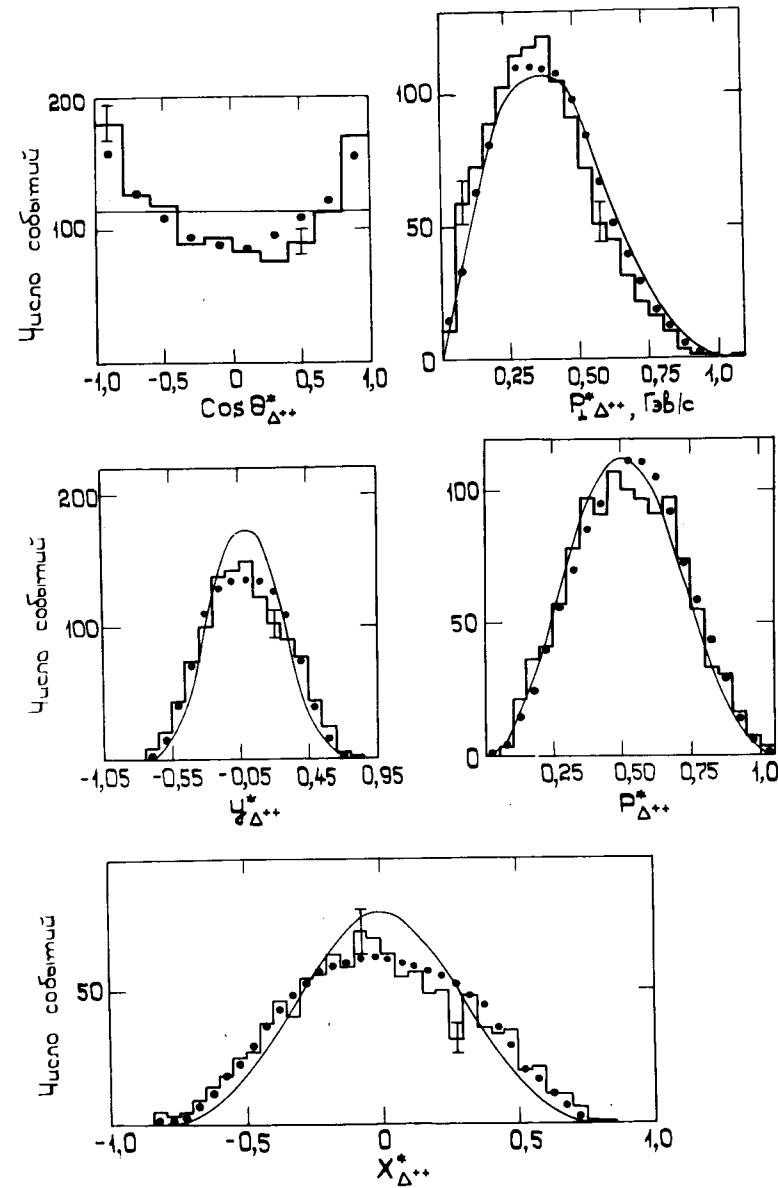


Рис.8. Распределения по  $\cos \theta^*$ ,  $P_\perp$ ,  $y^*$ ,  $p^*$ ,  $x^*$ ,  $\Delta^{++}$  изобары.

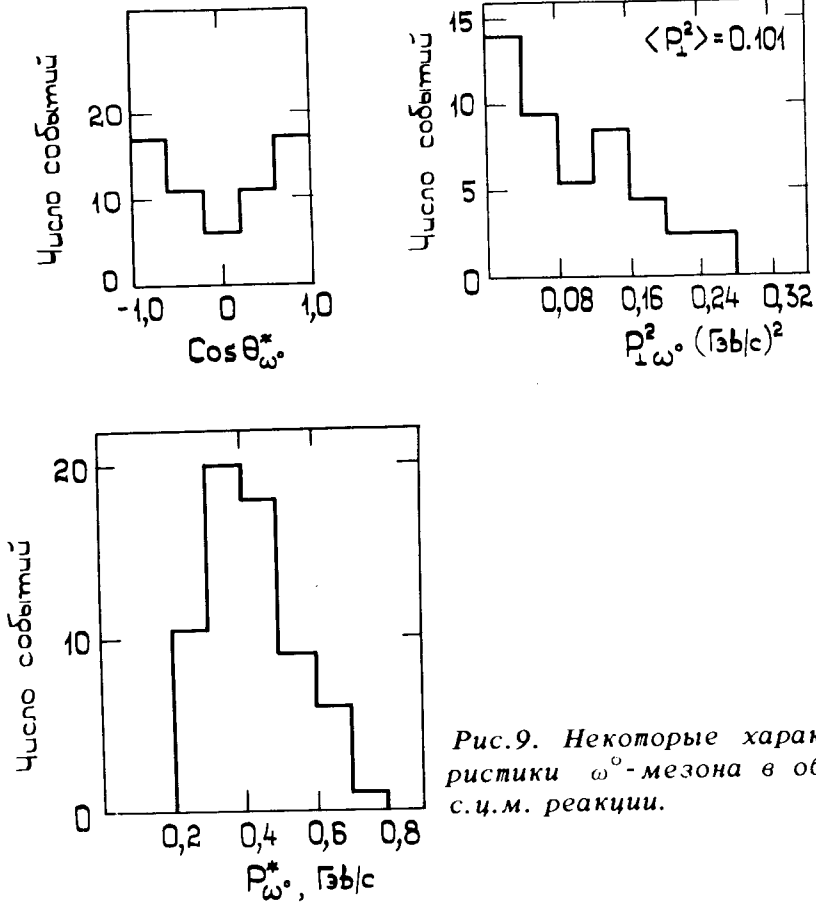
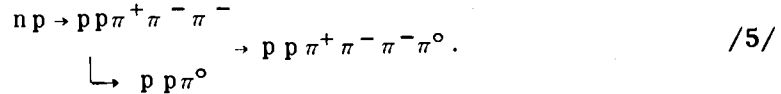


Рис.9. Некоторые характеристики  $\omega^0$ -мезона в общей с.ц.м. реакции.

дадут снова эффекты, примерно одинаковые как для заряженных, так и для нейтрального мезонов. Более того, рассмотрение всех возможных расположений  $\pi$ -мезонов в такой схеме приводит к тому, что  $\pi^0$ -мезоны будут иметь тенденцию к вылету назад в общей с.ц.м. /здесь использованы данные работы<sup>/5/</sup>, где изучались различные реакции пр-взаимодействий при проходящих энергиях/.

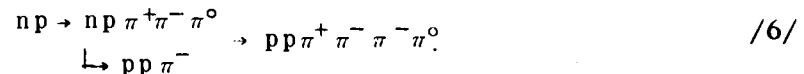
В схеме с обменом мезонами есть, однако, возможность для перерассеяния, при котором характеристики  $\pi^0$ -мезона будут отличаться от характеристик заряжен-

ных мезонов. Речь идет о возможном протекании реакции /1/ в части случаев в два следующих этапа:



На первом этапе идет реакция  $\text{pr} \rightarrow \text{pp}\pi^+\pi^-\pi^-$ , которая изучена нами в работе<sup>/3/</sup> и в которой распределения заряженных частиц не сильно отличаются от изотропных. На втором этапе протоны, в значительной степени сохраняющие направление полета первичных нуклонов, взаимодействуют, давая в конце состояния  $\text{pp}\pi^0$ .

В реакции  $\text{pp} \rightarrow \text{pp}\pi^0$  при энергиях до 3 ГэВ<sup>/6/</sup>  $\pi^0$ -мезоны имеют симметричное и анизотропное распределение, которое может быть сопоставлено с распределением рис. 1 данной работы. Эффект перерассеяния может возникать и в случае, если реакция /1/ протекает в два этапа

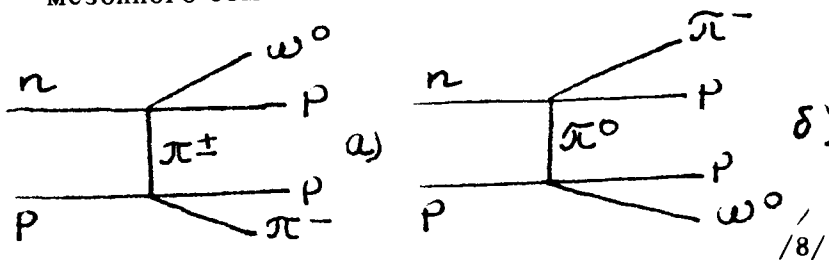


Однако при соответствующих энергиях сечения реакции  $\text{pr} \rightarrow \text{pp}\pi^-$  меньше сечения реакции  $\text{pp} \rightarrow \text{pp}\pi^0$ <sup>/7,8/</sup> и  $\pi^-$ -мезоны в ней вытянуты вперед. Возможно, что этот эффект чувствуется, хотя и слабо, в угловом распределении  $\pi^-$ -мезонов /рис. 1/.

Конечно, все эти соображения носят сугубо качественный характер. Однако совокупность приведенных данных свидетельствует о том, что пренебрегать эффектами перерассеяния, по-видимому, нельзя.

Обсудим теперь возможный механизм рождения  $\omega^0$ -мезона. На рис. 9 представлены некоторые характеристики рожденного  $\omega^0$ -мезона в общей с.ц.м. реакции /1/. Они получаются путем вычитания характеристик случаев из полосы эффективных масс  $\pi^+\pi^-\pi^0$ -мезонов  $770 \leq M_{\pi^+\pi^-\pi^0} \leq 790$  МэВ/с<sup>2</sup> характеристик случаев из соседних полос справа и слева от полосы, где заключен  $\omega^0$ -мезон. Обращает на себя внимание анизотропное и симметричное угловое распределение  $\omega^0$ -мезона в с.ц.м. Если предположить, что образование  $\omega^0$ -мезона

идет в реакции  $\text{pp} \rightarrow \text{pp} \omega^0 \pi^-$  /7/ через диаграммы  $\pi^-$ -мезонного обмена



то можно написать, что сечение образования  $\omega^0$  через процесс /8a/

$$\sigma_{(8a)}^{\omega^0} \sim \sigma_{\pi^+ n \rightarrow p \omega^0} \cdot \sigma_{\pi^- p \rightarrow \pi^- p} \quad /9/$$

а сечения образования  $\omega^0$  через процесс /8b/

$$\sigma_{(8b)}^{\omega^0} \sim \sigma_{\pi^0 p \rightarrow p \omega^0} \cdot \sigma_{\pi^- p \rightarrow \pi^0 n} \quad /10/$$

отношение

$$\sigma_{(8a)}^{\omega^0} / \sigma_{(8b)}^{\omega^0} \approx 1,$$

т.к.  $\sigma_{\pi^+ n \rightarrow p \omega^0} / \sigma_{\pi^0 p \rightarrow p \omega^0} \approx 2$ , что следует из изотопических соотношений, а  $\sigma_{\pi^- p \rightarrow \pi^- p} / \sigma_{\pi^- p \rightarrow \pi^0 n} \approx \frac{1}{2}$   
в области масс, характерных для реакции /1/ эффективных  
масс  $\pi^- p$  /около массы  $1236 \text{ MeV}/c^2$ /.

Тогда симметрия углового распределения  $\omega^0$ -мезона не удивительна.

## ВЫВОДЫ

1. Реакция  $\text{pp} \rightarrow \text{pp} \pi^+ \pi^- \pi^0$  в основном может быть описана матричным элементом вида

$$M^2 \sim e^{-B(y_{\max} - y_1)} \cdot e^{-B(y_2 - y_{\min})} \cdot (\beta_1 + \beta_2 R), \text{ где}$$

$$B = 1,41 \text{ и } \beta_1 + \beta_2 = 1;$$

$\beta_2$  - доля образования изобары  $\Delta^{++}$  в реакции,  $R$  - резонансный член;

2. Изобара  $\Delta^{++}$  рождается в большинстве случаев через периферический механизм.

3. Угловые распределения рожденных частиц не противоречат предположению о перерассеянии вторичных нуклонов с рождением одного  $\pi^-$ -мезона;

4. Рождение  $\omega^0$ -мезона, вероятно, происходит через  $\pi^-$ -мезонный обмен в реакции  $\text{pp} \rightarrow \text{pp} \omega^0 \pi^-$ .

## ЛИТЕРАТУРА

1. Абдиалиев А. и др. ОИЯИ, 1-10669, Дубна, 1977.
2. Абдиалиев А. и др. ОИЯИ, 1-11138, Дубна, 1977.
3. Абдиалиев А. и др. ОИЯИ, Р1-11614, Дубна, 1978.
4. Ропотарев Л.А. Preprint ITEF-18, М., 1977.
5. Гаспарян А.П. и др. ОИЯИ, 1-6211, Дубна, 1972.
6. Smith G.A. et al. Phys.Rev., 1961, v. 123, p. 2160.
7. Benary O. et al. NN and ND Interactions (Above 0,5 GeV/c)-A Compilation. UCRL-2000NN, 1970.
8. Гаспарян А.П. и др. ЯФ, 1970, 12, с. 987.

Рукопись поступила в издательский отдел  
30 мая 1978 года.